

2ej
6



Universidad Nacional Autónoma de México

Facultad de Ciencias

SOLUCION NUMERICA DE LA ECUACION DE BALANCE

T E S I S

Que para obtener el título de:

F I S I C O

P r e s e n t a :

Luis Díaz Hernández

México, D. F.

1984



Universidad Nacional
Autónoma de México



UNAM – Dirección General de Bibliotecas Tesis Digitales Restricciones de uso

DERECHOS RESERVADOS © PROHIBIDA SU REPRODUCCIÓN TOTAL O PARCIAL

Todo el material contenido en esta tesis está protegido por la Ley Federal del Derecho de Autor (LFDA) de los Estados Unidos Mexicanos (México).

El uso de imágenes, fragmentos de videos, y demás material que sea objeto de protección de los derechos de autor, será exclusivamente para fines educativos e informativos y deberá citar la fuente donde la obtuvo mencionando el autor o autores. Cualquier uso distinto como el lucro, reproducción, edición o modificación, será perseguido y sancionado por el respectivo titular de los Derechos de Autor.

CONTENIDO

1. Introducción	2
2. La ecuación de balance	3
3. Discretización de la ecuación de balance	9
4. Condiciones de frontera	17
5. Método de solución de la ecuación en diferencias	18
6. Resultados	19
7. Conclusiones	29
Apendice A: Método iterativo	32
Apendice B: Programa de computo	37
Bibliografía	47

1. INTRODUCCION.

El propósito de este trabajo consiste en resolver una ecuación del tipo Monge-Ampère para el caso elíptico, como un problema de valores a la frontera.

Esta ecuación es conocida en meteorología como ecuación de balance, y es deducida de la ecuación de la divergencia al omitir el cambio local de la divergencia con respecto al tiempo en dicha ecuación

La ecuación de balance se ha utilizado para inicializar modelos de ecuaciones primitivas. La inicialización consiste en poner en balance el campo de masa (geopotencial), con el campo de movimiento, ya que dado el campo de masa a través de la ecuación de balance, se puede encontrar la función corriente.

Por lo general, en las condiciones iniciales existen imbalances entre el campo de masa y el de viento, debido a errores tanto en las observaciones como en el análisis.

Esto repercute en un modelo de ecuaciones primitivas en una redistribución del campo de masa y de viento a través de la dispersión y disipación de ondas de gravedad-inerciales, generadas por dichos imbalances.

La solución conserva la parte rotacional del viento, la cual es de un orden de magnitud mayor que la parte divergente.

2. LA ECUACION DE BALANCE.

La ecuación de la divergencia es una forma diferenciada - de la ecuación de momento horizontal (ver G. J. Haltiner, 1980) y se representa de la siguiente manera

$$\frac{\partial D}{\partial t} + \mathbf{V} \cdot \nabla D + \frac{1}{2} D - 2 \mathbb{J}(u, v) - \frac{\partial}{\partial x}(f v) + \frac{\partial}{\partial y}(f u) = -\nabla^2 \Phi \quad (2.1)$$

donde: $D = \nabla \cdot \mathbf{V}$ es la divergencia horizontal, $\mathbb{J}(u, v)$ el Jacobiano, f el parámetro de Coriolis, u y v las velocidades zonal y meridional respectivamente, Φ el geopotencial; x , y las variables independientes, la primera en la dirección zonal y la segunda en la dirección meridional. Si en la ecuación (2.1) se omiten los términos que contengan a la divergencia, se obtiene la ecuación de balance. Esto, físicamente significa que son eliminadas las ondas rápidas o de gravedad, pues el cambio en el tiempo de la divergencia es esencial para la propagación de estas ondas. La atmósfera se aproxima a este comportamiento en un nivel de 500mb., para latitudes medias y para latitudes bajas en un nivel de 700mb. La ecuación así considerada fue -- propuesta por Charney (1955) y Bolin (1955), tiene la forma

$$2 \mathbb{J}(u, v) + \frac{\partial}{\partial x}(f v) - \frac{\partial}{\partial y}(f u) = \nabla^2 \Phi \quad (2.2)$$

donde

$$\mathbb{J}(u, v) = \frac{\partial u}{\partial x} \frac{\partial v}{\partial y} - \frac{\partial u}{\partial y} \frac{\partial v}{\partial x}$$

Por lo tanto, se cuenta con un campo de velocidades en -- dos dimensiones y no-divergente, el cuál puede ser expresado - en términos de una función corriente Ψ , definida por

$$\mathbf{V} = \hat{k} \times \nabla \Psi \quad (2.3)$$

siendo k un vector unitario en la dirección perpendicular al - plano x, y . También se puede expresar en componentes cartesia nas como

$$u = -\frac{\partial \Psi}{\partial y} \quad ; \quad v = \frac{\partial \Psi}{\partial x} \quad (2.4)$$

siendo fácilmente verificable que $\nabla \cdot \mathbf{V} = 0$

Sustituyendo (2.4) en (2.2), se obtiene la ecuación de ba lance siguiente

$$2(\Psi_{xx} \Psi_{yy} - \Psi_{xy}^2) + \frac{\partial}{\partial x}(f \Psi_x) + \frac{\partial}{\partial y}(f \Psi_y) = \nabla^2 \Phi \quad (2.5)$$

La ecuación (2.5), es una ecuación diferencial parcial no lineal del tipo Monge-Ampère, que representa una relación de - diagnóstico entre el geopotencial y el campo de vientos balan ceado definido por la función corriente Ψ .

Si no son impuestas restricciones sobre el campo de geopo tencial (Φ), la ecuación (2.5) puede ser elíptica, parabólica o hiperbólica (ver por ejemplo, Arnason, 1957).

Para los casos parabólico e hiperbólico la ecuación (2.5) no es analizada aquí, sino únicamente para el caso elíptico. - La razón resulta del hecho de que generalmente la región de estudio es elíptica; esto es, como se verá más adelante, la ecuación mencionada en su forma de diferencias finitas sobre una región discretizada, cumple en casi todos los puntos con la condición de elipticidad, excepto en pequeñas regiones de hiperbolicidad como pueden ser el frente de un huracán, las fronteras del Jet-Stream u otros fenómenos que provocan esta situación, por lo cual es necesario hacer una modificación al patrón de geopotencial, cuestión que será tratada en la solución práctica del problema (ver sección 5).

La ecuación (2.5) puede ser escrita en una forma general-como

$$A\Psi_{xx} + 2B\Psi_{xy} + C\Psi_{yy} + \Psi_{xx}\Psi_{yy} - \Psi_{xy}^2 = E \quad (2.6)$$

donde

$$\left. \begin{aligned} A=C = 1/2, \quad B=0 \\ E = (\nabla^2\Phi + 2\nabla f \cdot \nabla\Psi)/2 \end{aligned} \right\} \quad (2.7)$$

Así, se está en condiciones de plantear la solución de la ecuación-problema (2.6), para ello, se recurre al teorema de Rellich sobre la ecuación diferencial de Monge-Ampere (ver Courant and Hilbert, 1962). Allí existen al menos dos soluciones de (2.6) como un problema de valores a la frontera, si A, B, C y E son funciones continuas de x, y en un dominio cerrado y -

se satisface la desigualdad

$$AC - B + E > 0 \quad (2.8)$$

Si se elimina E de (2.8) usando (2.6), se obtiene

$$(\Psi_{xx} + C)(\Psi_{yy} + A) - (\Psi_{xy} - B)^2 > 0 \quad (2.9)$$

y en términos de las definiciones (2.7), queda en la forma

$$(f/2 + \Psi_{xx})(f/2 + \Psi_{yy}) - \Psi_{xy}^2 > 0 \quad (2.10)$$

Esto implica que $f/2 + \Psi_{xx}$ y $f/2 + \Psi_{yy}$ son siempre ambos mayores o menores que cero en el dominio de interés. Esto nos dice que hay dos tipos de solución de (2.2), una cuando la vorticidad absoluta es negativa en todas partes ($f + \nabla^2 \psi < 0$) y la otra cuando la vorticidad absoluta es positiva en todas partes ($f + \nabla^2 \psi > 0$) en el dominio. Para movimientos a escala sinóptica - es apropiado tener en el Hemisferio Norte la condición

$$f + 2\Psi_{xx} > 0 \quad \text{y} \quad f + 2\Psi_{yy} > 0 \quad (2.11)$$

y en el Hemisferio Sur

$$f + 2\Psi_{xx} < 0 \quad \text{y} \quad f + 2\Psi_{yy} < 0 \quad (2.12)$$

Si sabemos que $f=0$ en el ecuador, se debe esperar que Ψ_{xx} y Ψ_{yy} se anulen también.

Se va ahora a expresar la desigualdad (2.10) de tal forma que aparezca explícitamente el geopotencial (Φ), pues es a través de él que se analiza el criterio de elipticidad. Sumando (2.5) a (2.10), ésta queda expresada como

$$\nabla^2 \Phi + 1/2 f^2 - 2 \nabla f \cdot \nabla \Psi > 0 \quad (2.13)$$

Considerando que $2 \nabla f \cdot \nabla \Psi$ es una cantidad pequeña comparada con el valor de $\nabla^2 \Phi$, por análisis de escala, la desigualdad (2.13) puede ser simplificada sin afectar su función de condición matemática que debe ser cumplida en la solución de (2.6) y es por ello que puede ser reducida a

$$\nabla^2 \Phi + 1/2 f^2 > 0 \quad (2.14)$$

que es como se conoce la condición de elipticidad.

Siguiendose el análisis es práctico reescribir la ecuación (2.5) en la forma dada por Petterssen (1953).

$$(\nabla^2 \Psi + f)^2 = 2 \nabla^2 \Phi + f^2 + M^2 + N^2 - f_x \Psi_x - f_y \Psi_y \quad (2.15)$$

donde

$$M = -2 \Psi_{xy}$$

$$N = \Psi_{xx} - \Psi_{yy}$$

siendo M y N los términos de deformación. Ahora, si se toma la raíz cuadrada de (2.15), se obtiene

$$\nabla^2 \psi = -f \pm (2\nabla^2 \Phi + f^2 + M^2 + N^2 - f_x \psi_x - f_y \psi_y)^{1/2} \quad (2.16)$$

En donde como ya se señaló, el signo positivo (+) corresponde al Hemisferio Norte y el signo negativo (-) al Hemisferio Sur.

La transformación de la ecuación (2.16) sobre una proyección cónica de Lambert tangente a 30° , queda de la siguiente manera

$$\nabla^2 \psi = \frac{-f \pm (2m^2 \nabla^2 \Phi + f^2 + m^4(M^2 + N^2) - m^2 2\nabla f \cdot \nabla \psi)^{1/2}}{m^2} \quad (2.17)$$

siendo $m(\varphi)$ el factor de mapa dado por

$$m(\varphi) = \frac{\cos 30^\circ}{\cos \varphi} \left[\frac{\sin(45 - \varphi/2)}{\cos(45 - \varphi/2)} / \tan 30^\circ \right]^{\sin 30^\circ} \quad (2.18)$$

donde φ es la latitud.

La condición de elipticidad (2.14) asegura que el radical de (2.17) sea real y, así, que una solución físicamente útil exista. Por lo tanto, la ecuación (2.17) puede ser usada para calcular ψ dado un geopotencial Φ , como también calcular Φ dada una función corriente ψ como un problema de valores a la frontera. La solución numérica de la ecuación de Monge-Ampère (2.5) fue obtenida por M. Miyakoda (1956), basado en la forma (2.17).

3. DISCRETIZACION DE LA ECUACION DE BALANCE.

La solución numérica de la ecuación de balance por el método de diferencias finitas requiere de dos condiciones: que - la ecuación sea consistente matemáticamente cuando se reemplace por su forma en diferencias, que el error de truncación de cualquier término tenga el mismo orden de magnitud cuando se reemplace igualmente por su forma en diferencias.

El esquema adoptado en el presente trabajo tiene como característica y ventaja sobre otros, que satisface la condición siguiente: si las cantidades originales tienen la propiedad de que su integral de superficie se convierta en la integral de contorno, entonces se debe exigir que las cantidades aproximadas por diferencias finitas cumplan con relaciones similares; - esto es, que el área de suma pueda ser reducida a la suma periférica del dominio en cuestión.

Supongase que el espacio x , y horizontal, que comprende la región de estudio, que para el presente caso es la región - IV (ver figura 3), esta dividido en una malla de $p \times q$ puntos - separados por una distancia d , que es del orden de 219,550 mts. Entonces, se pueden escribir las coordenadas como sigue: $X=i \times d$ $Y=j \times d$, donde $i=1,2,\dots,p$; $j=1,2,\dots,q$; los valores de p y q - son 27 y 35 respectivamente. Así, cualquier punto de la malla es identificado de manera única por los índices (i,j) . La figura 1, muestra una parte representativa del espacio discreto de que se trata. En la misma figura las líneas punteadas indican la periferia de un dominio unitario de integración, que será - mas adelante la base en la construcción del esquema en diferencias, que transforma a la ecuación (2.17), en un sistema de -- ecuaciones algebraicas.

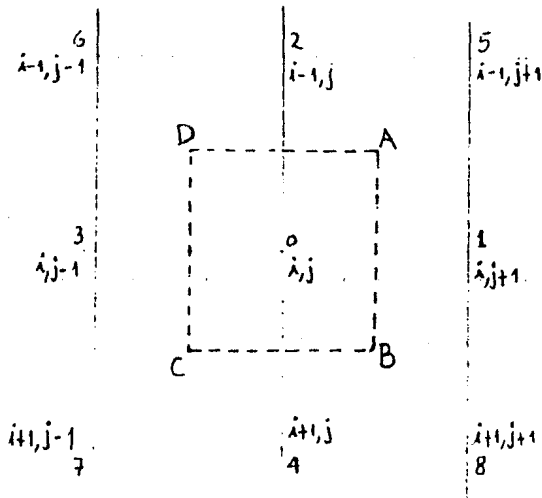


Figura 1. Identificación de los puntos de la malla por los índices i, j sobre una rejilla de diferencias finitas de $p \times q$ puntos.

En la construcción del esquema en diferencias finitas el método adoptado considera un sistema de 9 puntos (figura 1).

El Jacobiano $J(u, v)$ como cantidad original, tiene la propiedad de que su integral de superficie se convierte en la integral de contorno; esto es

$$\begin{aligned}
 2 \iint J(u, v) dx dy &= \int (u \frac{\partial v}{\partial c} - v \frac{\partial u}{\partial c}) dc \\
 &= \int \left(\frac{\partial \psi}{\partial c} \frac{\partial^2 \psi'}{\partial c \partial n} - \frac{\partial \psi}{\partial n} \frac{\partial^2 \psi'}{\partial c} \right) dc \quad (3.1)
 \end{aligned}$$

donde c es la coordenada a lo largo de la frontera y n la coordenada sobre el plano normal a ésta.

Si ahora, las cantidades a la derecha de (3.1), las descomponemos en diferencias a lo largo de la periferia del dominio unitario (ver figura 1), y se continua el análisis a todos los dominios unitarios restantes de la región, se ve que se cumple la condición impuesta al esquema: esto es, el área de suma de la región puede ser reducida a la suma periférica del dominio de ésta. La figura 2, muestra gráficamente que si la condición se satisface en los dominios unitarios, también es válida para el dominio entero.

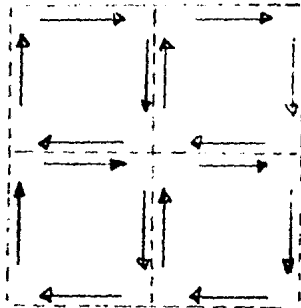


Figura 2. Representa gráficamente que la suma de los dominios unitarios se reduce a la suma periférica de la región.

Por lo tanto, con el objeto de establecer el esquema en diferencias para $\mathbb{J}(u, v)$, es necesario recurrir a la expresión diferencial a la derecha de (3.1), respecto al dominio unitario (figura 1).

Así para $\frac{\partial \Psi}{\partial c} \frac{\partial^2 \Psi}{\partial c \partial n}$ a lo largo de AD,

$$\begin{aligned} \left(\frac{\partial \Psi}{\partial c} \frac{\partial^2 \Psi}{\partial c \partial n} \right)_{AD} &\rightarrow \frac{1}{4d} (\Psi_2 - \Psi_4 + \Psi_5 - \Psi_8) \cdot \frac{1}{2d^2} (\Psi_2 - \Psi_4 - \Psi_5 + \Psi_8) \\ &= \frac{1}{8d^3} [(\Psi_2 - \Psi_4)^2 - (\Psi_5 - \Psi_8)^2] \end{aligned} \quad (3.2)$$

donde el subíndice de Ψ denota el valor de la función corriente en los puntos señalados numéricamente en la figura 1. Y para

ra $\frac{\partial \Psi}{\partial n} \frac{\partial^2 \Psi}{\partial c^2}$ a lo largo de AD, se tiene

$$\left(\frac{\partial \Psi}{\partial n} \frac{\partial^2 \Psi}{\partial c^2} \right)_{AD} \rightarrow \frac{1}{d} (\Psi_0 - \Psi_1) \frac{1}{2d^2} [(\Psi_2 + \Psi_4 - 2\Psi_0) + (\Psi_5 + \Psi_8 - 2\Psi_1)] \quad (3.3)$$

En las expresiones anteriores como en las subsiguientes donde aparezca la flecha se indica el reemplazo que se hace en diferencias finitas. También, se puede observar que para calcular las diferencias finitas a lo largo de la frontera del dominio unitario, es necesario hacer un promedio entre las diferencias finitas calculadas de antemano a la derecha e izquierda de dicha línea, esto para la línea AD es dado por

$$\left(\frac{\partial \Psi}{\partial C}\right)_{AE} \rightarrow \frac{1}{2} \left[\frac{1}{2d} (\Psi_2 - \Psi_4 + \Psi_5 - \Psi_2) \right]$$

$$\left(\frac{\partial^2 \Psi}{\partial C^2}\right)_{AD} \rightarrow \frac{1}{2} \left[\frac{1}{d^2} (\Psi_2 + \Psi_4 - 2\Psi_0) + \frac{1}{d^2} (\Psi_5 + \Psi_8 - 2\Psi_0) \right]$$

Totalizando las cantidades anteriores a toda la frontera del dominio unitario y notando que el sentido en que se tome - su construcción no afecta el resultado final, se obtiene

$$\begin{aligned} 2\mathbb{J}(u, w) \rightarrow & \frac{1}{8d^4} \left[2(\Psi_2 - \Psi_1)^2 + 2(\Psi_1 - \Psi_3)^2 - (\Psi_5 - \Psi_6)^2 \right. \\ & \left. - (\Psi_6 - \Psi_7)^2 - (\Psi_7 - \Psi_5)^2 - (\Psi_8 - \Psi_5)^2 \right] \\ & + \frac{1}{2d^4} \left[(\Psi_1 - \Psi_0)(\Psi_5 + \Psi_8 - 2\Psi_1) + (\Psi_2 - \Psi_0)(\Psi_5 + \Psi_6 - 2\Psi_2) \right. \\ & + (\Psi_3 - \Psi_0)(\Psi_6 + \Psi_7 - 2\Psi_3) + (\Psi_4 - \Psi_0)(\Psi_7 + \Psi_8 - 2\Psi_4) \\ & \left. + 2(\Psi_1 + \Psi_2 - 2\Psi_0)(\Psi_2 + \Psi_4 - 2\Psi_0) \right] \quad (3.4) \end{aligned}$$

En la expresión anterior se ha hecho la siguiente simplificación

$$\begin{aligned}
 & (\Psi_1 - \Psi_0)(\Psi_2 + \Psi_4 - 2\Psi_0) + (\Psi_2 - \Psi_0)(\Psi_1 + \Psi_3 - 2\Psi_0) \\
 & + (\Psi_3 - \Psi_0)(\Psi_2 + \Psi_4 - 2\Psi_0) + (\Psi_4 - \Psi_0)(\Psi_1 + \Psi_3 - 2\Psi_0) \\
 & = (\Psi_1 + \Psi_3 - 2\Psi_0)(\Psi_2 + \Psi_4 - 2\Psi_0)
 \end{aligned}$$

A continuación se construye en forma de diferencias finitas la totalidad de la ecuación de balance, para lo cual se integra la ecuación diferencial (2.5), obteniéndose la relación siguiente

$$\int \left(\frac{\partial \Psi}{\partial x} \frac{\partial^2 \Psi}{\partial c \partial n} - \frac{\partial \Psi}{\partial n} \frac{\partial^2 \Psi}{\partial c \partial x} + f \frac{\partial \Psi}{\partial n} - \frac{\partial \phi}{\partial n} \right) dC = 0 \quad (3.5)$$

Por lo tanto, el término $(f\Psi_x)_x + (f\Psi_y)_y$ se convierte a

$$\begin{aligned}
 \frac{\partial}{\partial x} (f\Psi_x) + \frac{\partial}{\partial y} (f\Psi_y) & \rightarrow \frac{1}{2d^2} \left[(f_1 + f_0)(\Psi_1 - \Psi_0) - (f_3 - f_0)(\Psi_0 - \Psi_3) \right. \\
 & \left. + (f_2 + f_0)(\Psi_2 - \Psi_0) - (f_4 + f_0)(\Psi_0 - \Psi_4) \right] \\
 & = \frac{1}{d^2} f_0 \nabla^2 \Psi + \frac{1}{2d^2} C \quad (3.6)
 \end{aligned}$$

donde

$$\nabla^2 \Psi = \Psi_1 + \Psi_2 + \Psi_3 + \Psi_4 - 4\Psi_0 \quad (3.6a)$$

y

$$\begin{aligned} \mathbb{C} = & (f_1 - f_0)(\Psi_1 - \Psi_0) + (f_2 - f_0)(\Psi_2 - \Psi_0) + (f_3 - f_0)(\Psi_3 - \Psi_0) \\ & + (f_4 - f_0)(\Psi_4 - \Psi_0) \end{aligned} \quad (3.6b)$$

para los subíndices de f se utiliza la misma convención que para los de Ψ .

Se observa en el desarrollo anterior, que el parámetro de Coriolis f para las fronteras del dominio unitario, es el promedio de los valores de f_0 y f_1 correspondientes a los meridianos o paralelos que se encuentran a la derecha e izquierda de la misma; esto es, para f a lo largo de la frontera AD,

$$f = \frac{1}{2}(f_0 + f_1)$$

repitiéndose lo mismo en las fronteras restantes.

Para la transformación del Laplaciano de Φ a su forma en diferencias, de acuerdo al esquema adoptado, se siguen los mismos pasos que en los casos anteriores; es por ello que se hace necesario recurrir al término correspondiente de la expresión (3.5) y calcular para cada una de las fronteras del dominio unitario. Obteniéndose la expresión siguiente

$$\nabla^2 \phi = \frac{1}{d^2} (\phi_1 + \phi_2 + \phi_3 + \phi_4 - 4\phi_0) \quad (3.7)$$

donde de la figura 1

$$\phi_0 = \phi(i, j); \phi_1 = \phi(i, j+1); \phi_2 = \phi(i-1, j); \phi_3 = \phi(i, j-1); \phi_4 = \phi(i+1, j)$$

Finalmente, en la ecuación (2.17), queda por expresar el término $M^2 + N^2$, para ello se utiliza la relación siguiente

$$2[\Psi_{xx} \Psi_{yy} - \Psi_{xy}^2] = \frac{1}{2} [(\nabla^2 \Psi)^2 - M^2 - N^2] \quad (3.8)$$

La expresión a la izquierda de la igualdad en la relación anterior, corresponde al Jacobiano que ya fue expresado en su forma de diferencias finitas (ver 3.4), el Laplaciano de Ψ a la derecha tiene similar expresión que en (3.6a). Por lo tanto despejando $M^2 + N^2$ de (3.8) se obtiene

$$\begin{aligned} M^2 + N^2 &= (\Psi_1 + \Psi_3 - 2\Psi_0)^2 + (\Psi_2 + \Psi_4 - 2\Psi_0)^2 \\ &\quad - (\Psi_1 - \Psi_0)(\Psi_5 + \Psi_8 - 2\Psi_1) - (\Psi_2 - \Psi_0)(\Psi_6 + \Psi_5 - 2\Psi_2) \\ &\quad - (\Psi_3 - \Psi_0)(\Psi_6 + \Psi_7 - 2\Psi_3) - (\Psi_4 - \Psi_0)(\Psi_7 + \Psi_8 - 2\Psi_4) \end{aligned}$$

$$\begin{aligned}
 & + \frac{1}{4} [(\Psi_5 - \Psi_8)^2 + (\Psi_6 - \Psi_5)^2 + (\Psi_7 - \Psi_6)^2 + (\Psi_8 - \Psi_7)^2] \\
 & - \frac{1}{2} [(\Psi_2 - \Psi_4)^2 + (\Psi_3 - \Psi_1)^2] \quad (3.9)
 \end{aligned}$$

Ahora, se esta ya en condiciones de escribir la ecuación (2.17), en su forma de diferencias finitas, para ello se utiliza una notación que las exprese

$$\nabla^2 \psi = -f \pm \left(2m^2 \nabla^2 \phi + f^2 + m^4 (M^2 + N^2) - m^2 C \right)^{1/2} \quad (3.10)$$

Esta es una ecuación algebraica a la que se dara solución numérica por un método iterativo en la sección 5.

4. CONDICIONES DE FRONTERA.

Los valores de la función en la frontera se fijan haciendo coincidir el flujo con el viento geostrófico en esos puntos, - esto queda expresado de la siguiente manera:

$$\frac{1}{f} \frac{\partial \phi}{\partial c} = \frac{\partial \psi}{\partial c}$$

$$\frac{\phi}{f} = \psi \quad (4.1)$$

donde f es un promedio del parámetro de Coriolis en la región que se está trabajando.

5. METODO DE SOLUCION DE LA ECUACION EN DIFERENCIAS.

El procedimiento seguido para darle solución numérica a la ecuación en diferencias; es como sigue (ver K. Miyakoda, -- 1960); basándose en la ecuación (2.17)

$$\nabla^2 \psi = \sigma \quad (5.1)$$

$$\sigma = -f + (2m^2 \psi^2 \phi + f^2 + m^4 (IM^2 + IN^2) - m^2 C)^{1/2} \quad (5.2)$$

σ es calculada usando ψ^r , donde ψ^r es el r -ésimo valor iterado y entonces por un método de relajación (ver apéndice A) la ecuación tipo Poisson (5.1) es resuelta. La solución corresponde a ψ^{r+1} . Entonces ψ^{r+1} es insertada en (5.2). Este procedimiento es repetido hasta que $\psi^{r+1} - \psi^r$ tenga un valor dentro de un pequeño rango $+\epsilon, -\epsilon$. Shuman (1957), llamó al proceso iterativo con respecto a r un ciclo y al proceso de relajación para resolver la ecuación de Poisson un barrido de la malla, esto significa que el anterior método puede ser llamado barrido en ciclos ("cycle-scan").

En este proceso se considero lo siguiente:

-En los puntos de la malla donde el geopotencial no cumple con la condición de elipticidad impuesta (2.13), dicho geopotencial es modificado; de manera que

$$\nabla^2 \Phi = 2 \nabla f \cdot \nabla \Psi - \frac{1}{2} f^2$$

ver por ejemplo, S. J. Bijlsma, 1983.

-Como adivinanza inicial de Ψ , se tomo Φ/\bar{f} , donde Φ es el geopotencial y \bar{f} es el parámetro de Coriolis a una latitud media de 30° N.

-El valor de \mathcal{E} se hace gradualmente decreciente con el ciclo, iniciando con 20 mts. en unidades de altura geopotencial y reduciéndolo por la mitad hasta 0.3125 mts.

6. RESULTADOS.

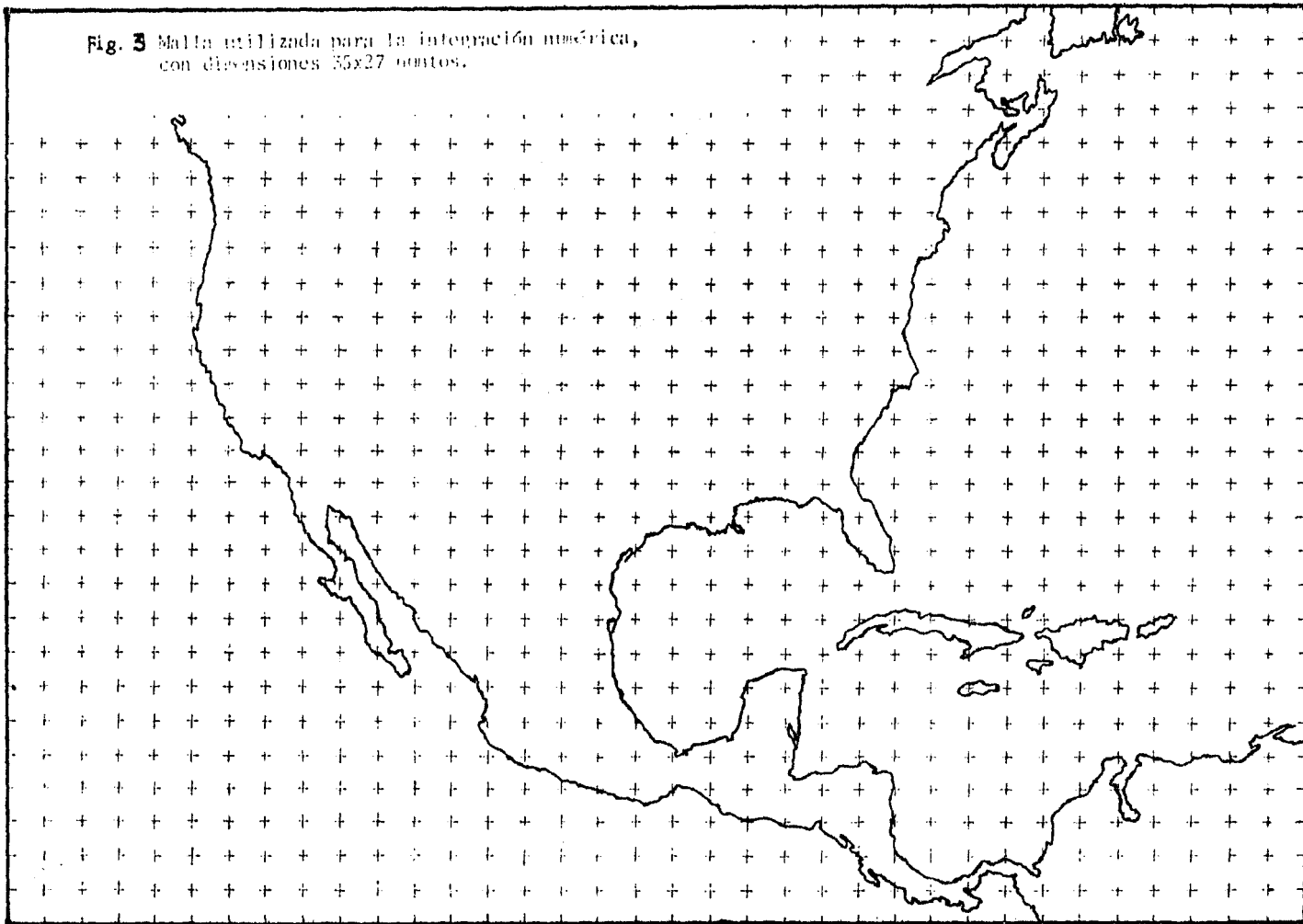
En la figura 3, se muestra la región de trabajo que es -- la región IV meteorológica, y la malla utilizada en la integración numérica la cual es de 27 x 35 puntos.

En la figura 4, se presenta el análisis objetivo para el campo de la altura geopotencial en 500mb., correspondiente al 21 de febrero de 1982, a las 12:00 Z. Se utilizó el esquema de

análisis objetivo desarrollado originalmente por R. Revilla D. y T. Morales A. En la figura 5, se muestra el patron de la función corriente Ψ , solución de la ecuación de balance y en la figura 6, el patron del geopotencial llamado de regreso, obtenido al resolver (2.17) para el geopotencial.

En las figuras 7 y 8, se presentan las gráficas que comparan respectivamente: el geopotencial inicial y la solución Ψ de la ecuación de balance, el geopotencial inicial con el de -regreso. A lo largo de la línea AB que se indica en la figura-4.

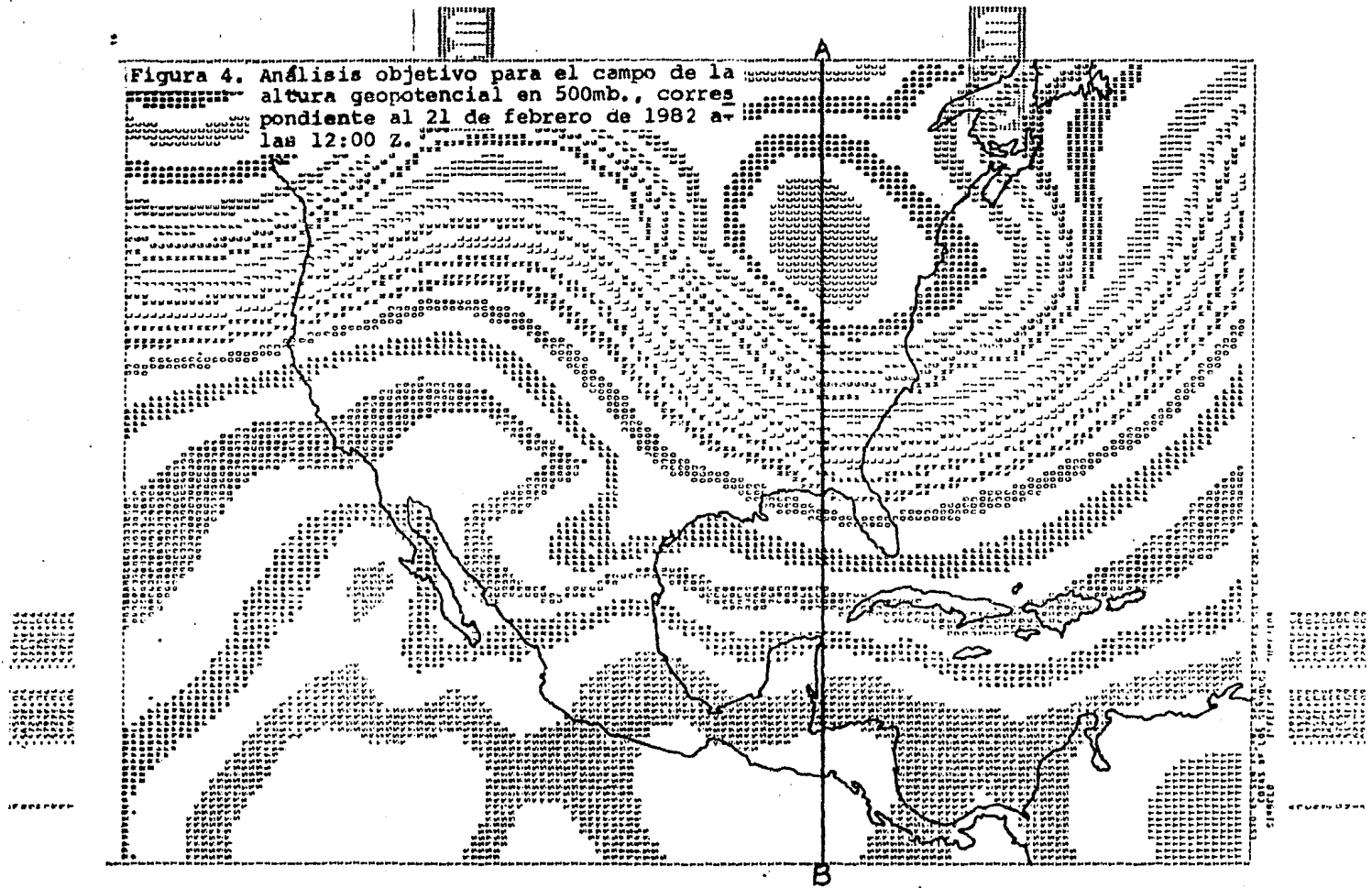
Fig. 3 Malla utilizada para la integración numérica,
con dimensiones 55x27 puntos.



COTAS DE LOS SIMBOLOS		
SIMBOLO	INFERIOR	SUPERIOR
A	.5081E+08	.5099E+08
B	.5117E+08	.5135E+08
C	.5154E+08	.5172E+08
D	.5190E+08	.5208E+08
E	.5227E+08	.5245E+08
F	.5263E+08	.5282E+08
G	.5300E+08	.5318E+08
H	.5336E+08	.5355E+08
I	.5373E+08	.5391E+08
J	.5410E+08	.5428E+08
K	.5446E+08	.5464E+08
L	.5483E+08	.5501E+08
M	.5519E+08	.5537E+08
N	.5556E+08	.5574E+08
O	.5592E+08	.5611E+08
P	.5629E+08	.5647E+08
Q	.5665E+08	.5684E+08
R	.5702E+08	.5720E+08
S	.5739E+08	.5757E+08
T	.5775E+08	.5793E+08

Para las figuras (4) y (6).

Figura 4. Análisis objetivo para el campo de la altura geopotencial en 500mb., correspondiente al 21 de febrero de 1982 a las 12:00 Z.

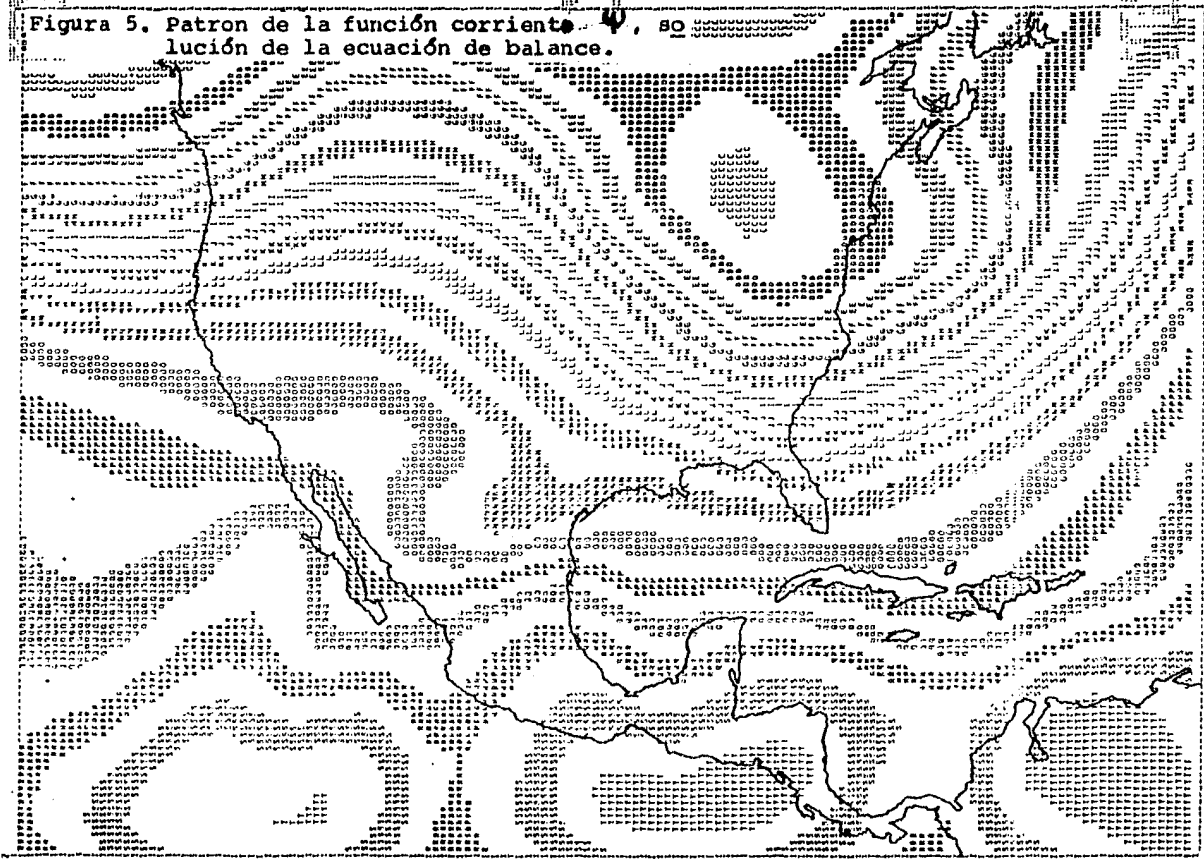


COTAS DE LOS SIMBLOS
 SIMBLO INFERIOR SUPERIOR

A	.7183E+09	.7207E+09
B	.7231E+08	.7255E+08
C	.7279E+08	.7304E+08
D	.7327E+08	.7352E+08
E	.7376E+08	.7400E+08
F	.7424E+08	.7448E+08
G	.7472E+08	.7496E+08
H	.7520E+08	.7544E+08
I	.7568E+08	.7593E+08
J	.7617E+08	.7641E+08
K	.7665E+08	.7689E+08
L	.7713E+08	.7737E+08
M	.7761E+08	.7751E+08
N	.7809E+08	.7833E+08
O	.7858E+08	.7882E+08
P	.7906E+08	.7930E+08
Q	.7954E+08	.7973E+08
R	.8002E+08	.8026E+08
S	.8050E+08	.8074E+08
T	.8098E+08	.8123E+08

Para la figura (5).

Figura 5. Patron de la función corriente, SO
lución de la ecuación de balance.



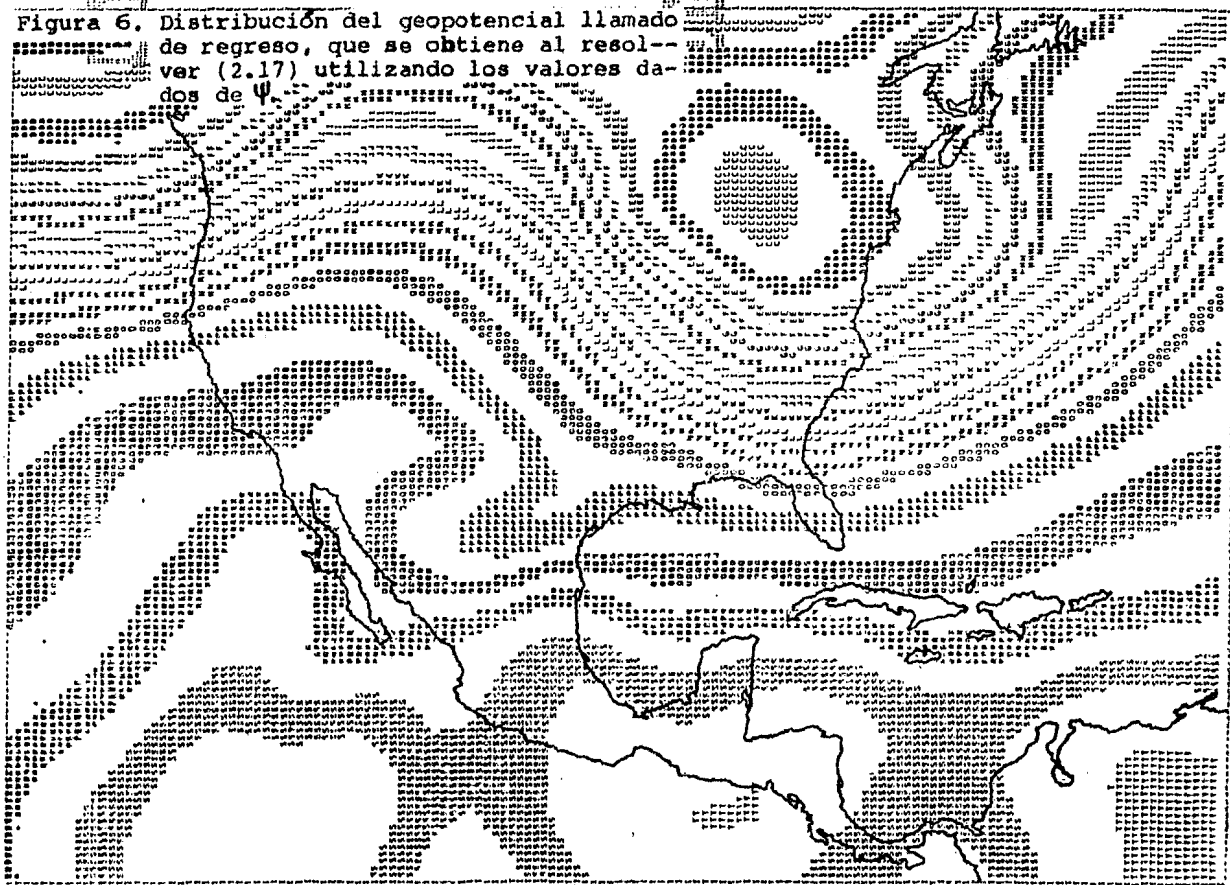


Figura 7. Solución ψ a lo largo de la línea AB en la figura(4), obtenida al resolver (2.17) con el esquema en diferencias-finitas desarrollado. El geopotencial es mostrado por comparación.

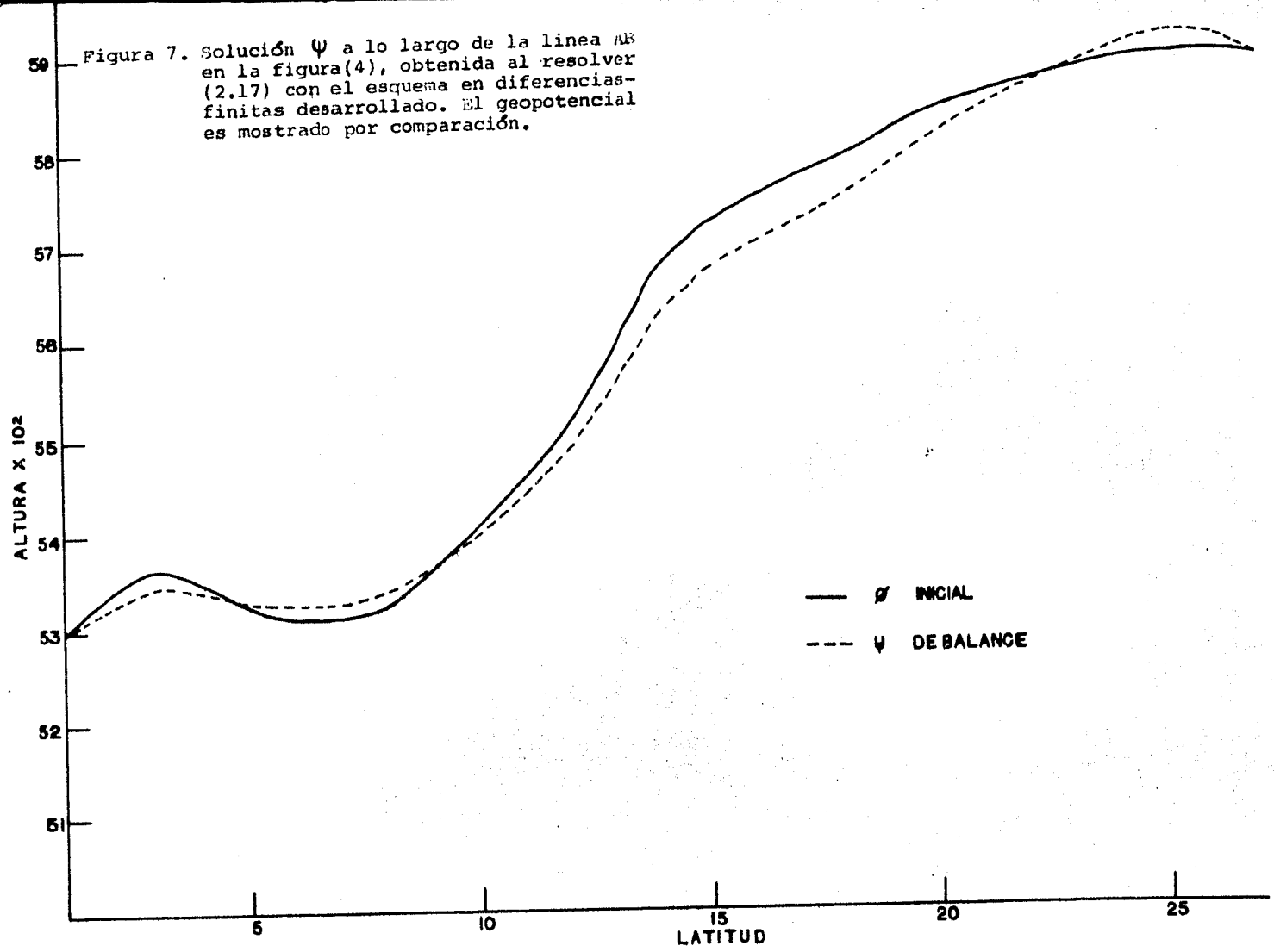
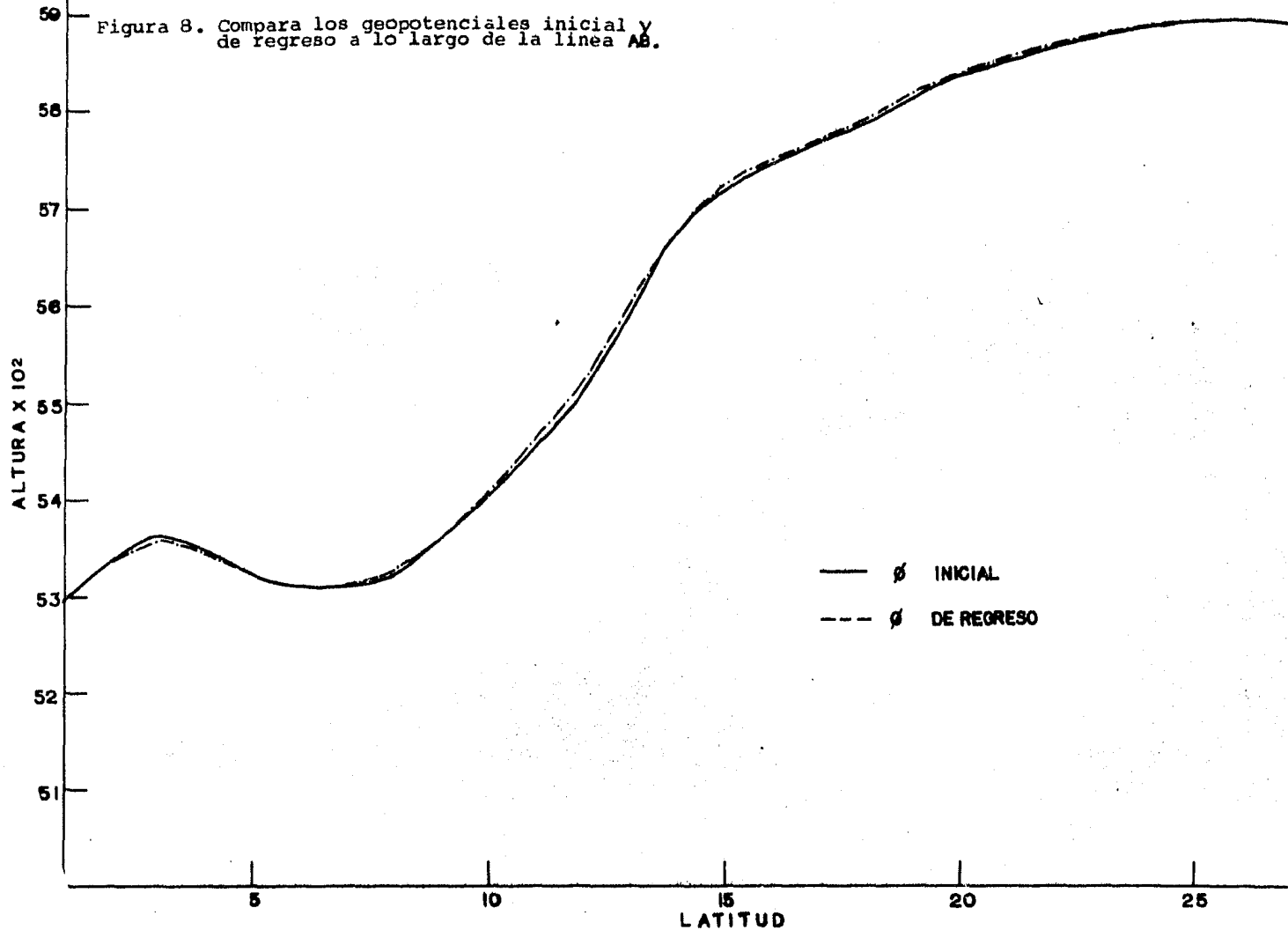


Figura 8. Compara los geopotenciales inicial y de regreso a lo largo de la línea AB.



7. CONCLUSIONES.

En el presente trabajo no se abordaron todos los caminos que en la actualidad han sido desarrollados para la solución numérica de la ecuación de balance. No obstante, en el presente se eligió uno de los métodos de solución que de acuerdo a los datos reportados resulta ser uno de los mejores (ver método B, en K. Miyakoda, 1960).

El criterio que se adoptó para comprobar la veracidad de los resultados que se obtuvieron al resolver numéricamente la ecuación de balance, fué el siguiente: primero dicha ecuación se resolvió como una ecuación del tipo Monge-Ampère, en donde se buscaba Ψ para una distribución dada de Φ , como un problema de valores a la frontera y para el caso elíptico. Luego, se invirtió el proceso y la ecuación de balance se resolvió como una ecuación del tipo Poisson en donde la solución Φ es obtenida dada la distribución de la función corriente calculada previamente, con valores de Ψ en las fronteras rodeando un dominio cerrado. El esquema aplicado es el mismo en los dos casos; esto es, solo se invierte el proceso utilizando la misma ecuación y el respectivo esquema.

A continuación se analizan los resultados a que se llegó y se señalan conclusiones de importancia en la solución de la ecuación de balance para una región limitada.

Analizando las gráficas de la figura (7) y las figuras -- (4) y (5), se concluye que: la solución Ψ de la ecuación de balance es diferente a la respectiva función corriente que se obtiene por aproximación geostrofica. Esto ya se esperaba, ---

al resolver la ecuación de balance se tiene una función corriente con menos restricciones que en el caso de la aproximación geostrófica, donde los términos no lineales de dicha ecuación son eliminados, provocando con ello que su aplicación se reduzca a regiones donde por análisis de escala, estos términos no lineales sean de poco peso, comparados con los del resto de la ecuación de que se hace mención. Estas regiones corresponden a latitudes medias lejos de los trópicos.

Por otro lado, del análisis de las gráficas de la figura (8) en donde se compara el geopotencial inicial con el llamado de regreso, los trazos no coinciden idénticamente, no quiere decir por ello, que el balance esté equivocado, mas bien esta diferencia nos dá una medida de que tan bueno es el balance; pero si la diferencia fuera muy grande, habría que buscar posibles errores o definitivamente probar otro camino. En este caso que se trata las gráficas no difieren mucho, la diferencia puede ser despreciada, es por ello que se puede decir que el balance es bueno. Siguiendo adelante se analiza el por que de estas diferencias.

La región de trabajo es no elíptica en ciertas partes, sobre todo en latitudes bajas, que son regiones donde dominan -- las zonas hiperbólicas; ahora, como la solución de la ecuación de balance es sólo para el caso elíptico, entonces, ahí en --- esas regiones hiperbólicas que no cumplen con la condición impuesta, se hace necesario modificar a el geopotencial si se -- quiere obtener un balance.

Esta modificación al geopotencial va a estar presente en-

la solución Ψ de la ecuación de balance y transmitida cuando se invierta el proceso, al nuevo geopotencial llamado de regreso. Conclusión, por lo antes expuesto, el geopotencial llamado de regreso no coincidirá con el geopotencial inicial.

Otra causa que afecta y que hay que tomar en cuenta son las condiciones de frontera, éstas son mantenidas constantes durante todo el proceso, lo que provoca cambios irreversibles que también van a manifestarse en la diferencia de las dos gráficas analizadas.

Por lo anteriormente analizado se concluye que si no se consideran los efectos de frontera y se trabaja en una región que sea elíptica en su totalidad, el proceso es totalmente reversible por lo que se acaba de exponer y las respectivas gráficas de geopotencial (inicial y de regreso), deben coincidir idénticamente. Entonces, el criterio adoptado en la comprobación de los resultados es bueno y sirve como una referencia de prueba.

Finalmente se considera de acuerdo a los resultados obtenidos, que el balance es bueno, aunque no es todo lo que se quiere, sino que habrá que buscar los posibles errores o hacer aportaciones que mejoren el método de solución de la ecuación de balance, sobre un dominio de área limitada.

APENDICE A

1. METODO DE RELAJACION SIMULTANEA. La ecuación tratada es una ecuación del tipo Poisson

$$\nabla^2 \Psi = \sigma(x, y) \quad (\text{A.1})$$

donde σ es un termino de forzamiento.

Para resolver numéricamente la ecuación (A-1), bajo ciertas condiciones de frontera, se emplea un método de aproximación sucesiva. Este es llamado "metodo iterativo". Es decir, dando una "adivinanza inicial", el valor de la solución es aproximado al valor final en un proceso iterativo. Por lo tanto si la solución en una iteración arbitraria no satisface la ecuación original, esta diferirá de la solución verdadera por una cantidad llamada residual R ; esto es

$$\nabla^2 \Psi^v - \sigma = R^v \quad (\text{A.2})$$

v indica una iteración arbitraria.

Si R^v se hace cero en todos los puntos, entonces Ψ^v será la solución verdadera de la ecuación (A-1). Se vera como se puede lograr esto. Por definición de $\nabla^2 \Psi$ y de acuerdo con el arreglo de la figura (1-A)

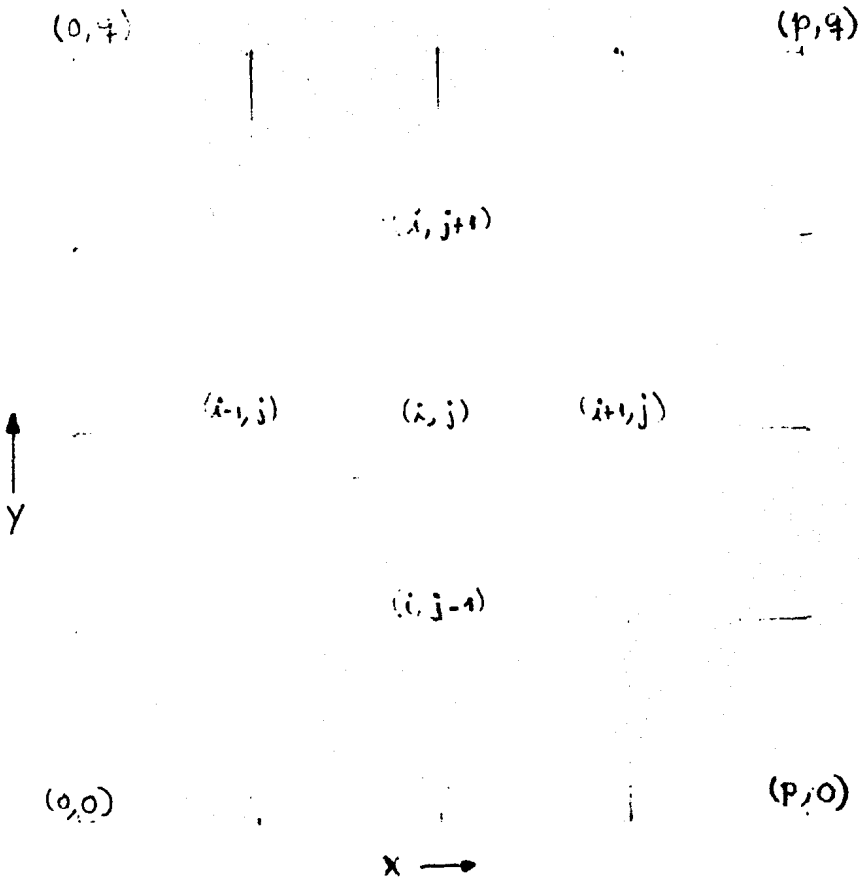


Figura 1A. Identificación de los puntos de la malla por los índices i,j . Sobre una rejilla de diferencia finita de $p \times q$ puntos.

$$\nabla^2 \Psi = \Psi_{i+1,j} + \Psi_{i-1,j} + \Psi_{i,j+1} + \Psi_{i,j-1} - 4\Psi_{i,j} \quad (\text{A.3})$$

entonces la ecuación (A-2) queda como

$$\Psi_{i+1,j}^r + \Psi_{i-1,j}^r + \Psi_{i,j+1}^r + \Psi_{i,j-1}^r - 4\Psi_{i,j}^r = \sigma_{i,j} + R_{i,j}^r \quad (\text{A.4})$$

Ahora se supone que nuestra adivinanza en un punto particular i, j fué cambiada por una cantidad $\delta\Psi_{i,j}$, aclarando que no se altera la adivinanza en algundode los puntos vecinos. Por lo tanto, como $\sigma_{i,j}$ es fijo, la ecuación anterior implica que el cambio resultante en el residual en el mismo punto i, j es

$$\delta R_{i,j} = -4\delta\Psi_{i,j} \quad (\text{A.5})$$

Si se tuviese unicamente un punto interior en la malla, - se cambiaría $\Psi_{i,j}^r$ en ese punto de tal forma que el residual resultante se anule; esto es, tal que

$$\delta R_{i,j} = -R_{i,j}^r \quad (\text{A.6})$$

de acuerdo a la anterior ecuación (A-5) sería

$$\delta \Psi_{ij}^v = \frac{1}{4} R_{ij}^v \quad (\text{A.7})$$

o, si Ψ_{ij}' denota el resultado del cambio $\delta \Psi_{ij}$

$$\Psi_{ij}' = \Psi_{ij}^v + \delta \Psi_{ij} = \Psi_{ij}^v + \frac{1}{4} R_{ij}^v \quad (\text{A.8})$$

Así, se tiene que al considerar Ψ_{ij}^v como una "nueva adivinanza", ésta se aplica nuevamente en (A-8) con el objeto de reducir el error y así sucesivamente, se obtiene entonces para un proceso de esta naturaleza que

$$\Psi_{ij}^{v+1} = \Psi_{ij}^v + \frac{1}{4} R_{ij}^v \quad (\text{A.9})$$

donde

$$R_{ij}^v = \nabla^2 \Psi_{ij}^v - \sigma_{ij}$$

La ecuación anterior define un procedimiento iterativo debido a Richardson, llamado relajación simultánea.

2. METODO ORDINARIO DE LIEBMANN. El método de Richardson es -- muy lento en convergencia. La revisión de este esquema dio como resultado el método ordinario de Liebmann, en el cual $\Psi_{i-1,j}^v$ y $\Psi_{i,j+1}^v$ son reemplazados por los nuevos valores obtenidos.

3. METODO ACELERADO DE LIEBMANN. Por último, el método ordinario de Liebmann es extendido al llamado método acelerado de Liebmann, por la introducción de la técnica de sobrerrelajación. El procedimiento de corrección es escrito como sigue

$$\Psi_{ij}^{v+1} = \Psi_{ij}^v + \frac{1+\mathcal{U}}{4} [\Psi_{i+1,j}^v + \Psi_{i-1,j}^v + \Psi_{i,j+1}^v + \Psi_{i,j-1}^v - 4\Psi_{ij}^v + \sigma_{ij}] \quad (\text{A.10})$$

donde el coeficiente de sobrerrelajación \mathcal{U} está dado por la fórmula

$$\mathcal{U} = 1 - \sqrt{2} \sqrt{\left(\frac{\pi}{p-1}\right)^2 + \left(\frac{\pi}{q-1}\right)^2} \quad (\text{A.11})$$

donde $p = 35$ y $q = 27$, son el número de puntos de la malla en x , y . (ver K. Miyakoda, 1962, pp. 96-101.)

APENDICE B

1. PROGRAMA DE COMPUTO.

```

100  PROG. HECHO POR EUGENIO DEL VALLE Y LUIS DIAZ *
1000  IRESET LIST
1010  FILE 5=LATI,UNIT=DISK,RECORD=14,BLOCKING=30
1020  FILE 7=GRANT,UNIT=DISK,RECORD=14,BLOCKING=30
1030  FILE 6=NOXPRP,UNIT=PRINTER,RECORD=22
1040  DIMENSION AAMB(27,35),KANG(27,35),DIF(27,35),DGF6S1(27,35),
1050  *DOSLAP(27,35),PACO(27,35),PACO2(27,35),PTC(27,35)
1060  *,SI(27,35),S12(27,35),SIGMA(27,35),VEME(27,35),VEZC(27,35)
1070  *,XLAT(945),PPTC(945),XMAP(27,35),GG(35,27),ZZ(27,35)
1080  *,XLAPSI(27,35),GFGSI(27,35),XJAC(27,35)
1090  *,SIGMA2(27,35),DIF2(27,35),PTC2(27,35),PTC3(27,35)
1100  DATA PEGA/7.292115432 E-05/,PODI/219550.1/,PARE/1.7848828/,
1110  *REL/4.0E+09/,PEB/2.5E-05/,RE/3125/,RE2/.5/
1120  READ(7,128)(PPTC(J),J=1,945)
1130  120  FORMAT(10(I3,1X))
1140  REAL(5,122)(XLAT(J),J=1,945)
1150  199  FORMAT(13(F6.2))
1160  127  FORMAT(4(1PE15.4,1X))
1170  DO 555 I=1,27
1180  DO 555 J=1,35
1190  XANG(I,J)=XLAT(35*(I-1)+J)
1200  XANG(I,J)=XANG(I,J)*.1745
1210  PTC(I,J)=5*DO.0+PPTC(35*(I-1)+J)
1220  555  CONTINUE
1230  WRITE(6,930)
1232  230  FORMAT(5X,"ESTE PROGRAMA ES DER251")
1233  WRITE(6,931)
1235  WRITE(6,227)((PTC(I,J),J=1,35),I=1,27)
1240  DO 3 I=1,27
1250  DO 3 J=1,35

```

```

1260      PACO(I,J)=2.*PEGA*SIN(XANG(I,J))
1270      3  CONTINUE
1277      931  FORMAT(5X,"USA MY CON FRONTERA VAR,SR,Y A 42G")
1280      XX=0.966
1290      DO 556 I=1,27
1300      DO 556 J=1,35
1310      XMAP(I,J)=(0.5/SIN(XANG(I,J)))*((SIN(0.5*XANG(I,J)))/
1320      *      COS(0.5*XANG(I,J)))/0.2679)**XX
1340      556  CONTINUE
1350      CALL SUAVIZ(PTC,27,35,1)
1354      CALL ORDENA(27,35,GG,PTC)
1355      CALL AUTASI(27,35,DIIF,XMIN,PTC,XX*MAX)
1356      CALL MAPA(GG,XMIN,DIIF,145,127)
1360      DO 9 I=2,26
1370      DO 9 J=2,34
1380      DOSLAP(I,J)=(PTC(I,J+1)+PTC(I,J-1)+PTC(I+1,J)+PTC(I-1,J)
1390      *-4.*PTC(I,J))*(PODI*PODI)*2.0/(XMAP(I,J)*XMAP(I,J))
1440      9  CONTINUE
1450      DO 9999 I=2,26
1460      DO 9999 J=2,34
1470      PACO2(I,J)=(PACO(I,J)*PACC(I,J)*PODI*PODI+PODI*PODI)
1475      */(XMAP(I,J)*XMAP(I,J)*XMAP(I,J)*XMAP(I,J))
1490      9999 CONTINUE
1491      DO 3333 I=1,27
1492      DO 3333 J=1,35
1493      SI(I,J)=PTC(I,J)/PEGA
1494      3333 CONTINUE
1495      CALL ORDENA(27,35,GG,SI)
1496      CALL AUTASI(27,35,DIIF,XMIN,SI,XX*MAX)
1497      CALL MAPA(GG,XMIN,DIIF,145,127)
1500      WRITE(6,197)((SI(I,J),J=1,35),I=1,27)
1505      13  L=L+1
1510      PFL=0.5*REL
1530      CALL SIG(SI,PACO,PACO2,DOSLAP,XMAP,SIGMA,L)

```



```

1540 CALL RELAX(SI,SI2,SIGMA,REL,M,CERO)
1550 WRITE(6,777) Y,REL
1560 777 FORMAT(19X,"NUMERO DE ITER=",I3,10X,"REL=",F10.2)
1570 DO 15 I=1,27
1580 DO 15 J=1,35
1590 15 SI(I,J)=SI2(I,J)
1600 IF (REL .LE. RE) GO TO 99
1610 IF (L .LE. 7) GO TO 13
1620 99 IF (L .EQ. 9) GO TO 13
1630 CALL ORDENA(27,35,GG,SI)
1640 CALL AUTASI(27,35,DIF,XMIN,SI,XXMAX)
1650 CALL MAPA(GG,XMIN,DIF,145,127)
1660 WRITE(6,197)((SI(I,J),J=1,35),I=1,27)
1670 DO 101 I=2,26
1680 DO 101 J=2,34
1690 XLAPSI(I,J)=PACO(I,J)*(SI(I+1,J)+SI(I-1,J)+SI(I,J+1)+SI(I,J-1)-
1700 +4.*SI(I,J))
1710 GFGSI(I,J)=((PACO(I,J+1)-PACO(I,J))*(SI(I,J+1)-SI(I,J))+
1720 +(PACO(I-1,J)-PACO(I,J))*(SI(I-1,J)-SI(I,J))+(PACO(I,J-1)-
1730 +PACO(I,J))*(SI(I,J-1)-SI(I,J))+(PACO(I+1,J)-PACO(I,J))*
1740 +(SI(I+1,J)-SI(I,J)))
1750 XJAC(I,J)=((2.*(SI(I-1,J)-SI(I+1,J))*(SI(I-1,J)-SI(I+1,J))+2.*
1760 +(SI(I,J+1)-SI(I,J-1))*(SI(I,J+1)-SI(I,J-1))-(SI(I-1,J+1)-
1770 *SI(I-1,J-1))*(SI(I-1,J+1)-SI(I-1,J-1))-(SI(I-1,J-1)-SI(I+1,J-1))*
1780 +(SI(I-1,J-1)-SI(I+1,J-1))-(SI(I+1,J-1)-SI(I+1,J+1))*(SI(I+1,J-1)-
1790 *SI(I+1,J+1))-(SI(I+1,J+1)-SI(I-1,J+1))*(SI(I+1,J+1)-SI(I-1,J+1)))/
1800 +(4.*PODI*PODI))+(((SI(I,J+1)-SI(I,J))*(SI(I-1,J+1)+
1810 *SI(I+1,J+1)-2.*SI(I,J+1))+(SI(I-1,J)-SI(I,J))*(SI(I-1,J+1)+
1820 *SI(I-1,J-1)-2.*SI(I-1,J))+(SI(I,J-1)-SI(I,J))*(SI(I-1,J-1)+
1830 *SI(I+1,J-1)-2.*SI(I,J-1))+(SI(I+1,J)-SI(I,J))*(SI(I+1,J-1)+
1840 *SI(I+1,J+1)-2.*SI(I+1,J))+(SI(I,J+1)+SI(I,J-1)-2.*SI(I,J))*
1850 +(SI(I-1,J)+SI(I+1,J)-2.*SI(I,J)))/(2.*PODI*PODI)
1860 XJAC(I,J)=XMAP(I,J)*XMAP(I,J)*XJAC(I,J)

```

```

1860      SIGMA2(I,J)=KLABSI(I,J)+GFGSI(I,J)+XJAC(I,J)
1870 101 CONTINUE
1880      DO 103 I=1,27
1890      DO 103 J=1,35
1910 103 PTC2(I,J)=PEGA*SI(I,J)
1915      WRITE(6,297)((PTC2(I,J),J=1,35),I=1,27)
1920 111 N=M+1
1930      CERO=0.0
1940      DO 102 I=1,27,24
1950      DO 102 J=1,35
1960 102 PTC3(I,J)=PEGA*SI(I,J)
1970      DO 104 I=2,26
1980      DO 104 J=1,35,34
1990 104 PTC3(I,J)=PEGA*SI(I,J)
2000      DO 105 I=2,26
2010      DO 105 J=2,34
2020      PTC3(I,J)=PTC2(I,J)+(1.0/4.)*(PTC2(I,J+1)+PTC2(I+1,J)+
2030 +PTC2(I,J-1)+PTC2(I-1,J))-(4.*PTC2(I,J))-SIGMA2(I,J)
2040      DIF2(I,J)=ABS(PTC3(I,J)-PTC2(I,J))
2050      ERROR2=AMAX1(CERO,DIF2(I,J))
2060      CERO=ERROR2
2070 105 CONTINUE
2080      DO 121 I=1,27
2090      DO 121 J=1,35
2100      PTC2(I,J)=PTC3(I,J)
2110 121 CONTINUE
2120      IF (CERO .LE. RE2) GO TO 109
2130      IF (M .LE. 1000) GO TO 111
2140 109 IF (M .EQ. 1001) GO TO 18
2150      WRITE(6,113) 4
2160 113 FORMAT(19X, "NUMERO DE ITER" ,2X,I4)
2170 297 FORMAT(5(1PE15.4,1X))
2180      DO 115 I=1,35
2190      DO 115 J=1,27

```

```

2210 115 GG(I,J)=0.0
2212 CALL ORDENA(27,35,SG,PTC2)
2213 CALL AMTASI(27,35,DIIF,XX14,PTC2,XXMAX)
2214 CALL MAPA(SG,XX14,DIIF,145,127)
2214 WRITE(6,227)((PTC2(I,J),J=1,35),I=1,27)
2220 12 STOP
2230 END

2620 SUBROUTINE ORDENA (N,M,I2,Z)
2630 DIMENSION IZ(35,27), Z(27,35)
2640 K=N+1
2650 DO 30 I=1,M
2660 DO 30 J=1,N
2670 20 IZ(I,J) = Z(K-J,I)
2680 RETURN
2690 END

2700 SUBROUTINE SUAVIZ (Z,NI,NJ,M)
2710 DIMENSION Z(27,35), ZZ(27,35)
2720 DO 30 L=1,M
2730 S = 0.5
2740 DO 10 K=1,2
2750 DO 1 I = 2,NI-1
2760 DO 1 J = 2,NJ-1
2770 1 ZZ(I,J) = Z(I,J)+(.5*S*(1-S)*(Z(I+1,J)+Z(I-1,J)+Z(I,J+1))+
2780 * Z(I,J-1)-4.*(Z(I,J))+.25*S*S*(Z(I+1,J+1)+Z(I-1,J+1)
2790 * Z(I-1,J-1)+Z(I+1,J-1)-4.0*Z(I,J))
2800 DO 2 I = 2,NI-1
2810 DO 2 J = 2,NJ-1
2820 2 Z(I,J) = ZZ(I,J)
2830 10 S = -1.5
2840 30 CONTINUE
2850 RETURN
2860 END

2870 SUBROUTINE MAPA (Z,BASE,CINT,NL,NC)
2880 DIMENSION Z(35,27),SIME(20),V(130)

```

```

2890 DATA SIMB/"A","B","C","D","E","F","G","H","I","J","K","L","M",
2900 * "N","O","P","Q","R","S","T"/
2910 DATA CRUZ, ASTER/ "+","*"/
2920 DATA BLK, GUION/ " ","_"/
2930 NLM1 = NL-1
2940 NCM1 = NC-1
2950 CINT2 = 2.0+CINT
2960 R17 = 26.0/NCM1
2970 R34 = 34.0/NLM1
2980 WRITE (6,100)
2990 100 FORMAT(11X,"NOTAS DE LOS SIMBOLOS",/,7X,"SIMBOLO",7X,"INFERIOR",
3000 * 4X,"SUPERIOR",//)
3010 DO 1 K=1,20
3020 CONTI = BASE + 2.0+CINT*(K-1)
3030 CONTS = CONTI + CINT
3040 WRITE (5,101) SIMB(K),CONTI,CONTS
3050 101 FORMAT (1X,A1,6X,2F17.4)
3060 1 CONTINUE
3070 WRITE (5,102)
3080 102 FORMAT (" ",////,1X,"2",128X,"16")
3090 DO 2 J=2,NCM1
3100 V(J) = GUION
3110 2 CONTINUE
3120 WRITE (5,103) (V(J),J=2,NCM1)
3130 DO 10 LINEA = 2,NLM1
3140 PI = 1.0 + (LINEA - 1) * R34
3150 I = IFIX (PI)
3160 X = PI - FLOAT (I)
3170 J130 = IFIX (5.395527 + (LINEA - 2) * (4.225/2.5384) + 0.5 )
3180 DO 11 JCAR = 2,NCM1
3190 RJ = 1.0 + (JCAR-1)* R17
3200 J = IFIX (RJ)
3210 Y = PJ - FLOAT (J)
3220 A1 = 7 (I,J)

```

```

3230      A2 = Z (I+1,J) - A1
3240      A3 = Z (I,J+1) - A1
3250      A4 = Z (I+1,J+1) - A1 - A2 - A3
3260      ZINT = A1 + A2 * X + (A3+A4*X) * Y
3270      V(JCAR) = BLK
3280      DO 12 K=1,20
3290      CONTI = BASE + (K-1) * CINT2
3300      CONTS = CONTI + CINT
3310      IF ( ZINT.LE.CONTI.CK.ZINT.GT.CONTS) GO TO 12
3320      V(JCAR) = SIMP (K)
3330 12 CONTINUE
3340      IF (JCAR.EQ.J13CW) V(JCAR) = CRUZ
3350 11 CONTINUE
3360      WRITE (6,103) (V(J), J=2,NCM1)
3370 103 FORMAT (1X, "J",12SA1,"I")
3380 10 CONTINUE
3390      DO 19 J=2,NCM1
3400      V(J) = GUTON
3410 10 CONTINUE
3420      WRITE (5,103) (V(J), J=2,NCM1)
3430      RETURN
3440      END
3450      SUBROUTINE AUTASI(N,M,DIF,WW,XVAR,XMAX)
3460      DIMENSION XVAR(N,M)
3470      VV=XVAR(1,1)
3480      WW=XVAR(1,1)
3490      DO 1 I=1,N
3500      DO 1 J=1,M
3510      XMAX=AMAX1(VV,XVAR(I,J))
3520      XMIN=AMIN1(WW,XVAR(I,J))
3530      VV=XMAX
3540      WW=XMIN
3550 1 CONTINUE
3560      DIF=(VV-WW)/39.0

```

```

3570         RETURN
3580         END
3590         SUBROUTINE SIG(SI,PACO,PACO2,DOSLAP,XMAP,SIGMA,L)
3600         DIMENSION SI(27,35),PACO(27,35),PACO2(27,35),DOSLAP(27,35)
3610         *,AAMB3(27,35),DGFSGSI(27,35),XMAP(27,35),SIGMA(27,35),PACO1(27,35)
3620         DATA PEGA/7.292115432 E-5/,PODI/219550.0/
3630         DO 222 I=2,26
3640         DO 222 J=2,34
3650         DGFSGSI(I,J)=((PACO(I,J+1)-PACO(I,J))*(SI(I,J+1)-SI(I,J))+
3660         *(PACO(I-1,J)-PACO(I,J))*(SI(I-1,J)-SI(I,J))+(PACO(I,J-1)-
3670         *PACO(I,J))*(SI(I,J-1)-SI(I,J))+(PACO(I+1,J)-PACO(I,J))*
3680         *(SI(I+1,J)-SI(I,J))) *PODI*PODI
3685         DGFSGSI(I,J)=DGFSGSI(I,J)/(XMAP(I,J)*XMAP(I,J))
3690         222 CONTINUE
3700         DO 10 I=2,26
3710         DO 10 J=2,34
3720         AAMB3(I,J)=(SI(I,J+1)+SI(I,J-1)-2.*SI(I,J))*(SI(I,J+1)+SI(I,
3730         *J-1)-2.*SI(I,J))+(SI(I-1,J)+SI(I+1,J)-2.*SI(I,J))*(SI(I-1,J)+
3740         *SI(I+1,J)-2.*SI(I,J))-(SI(I,J+1)-SI(I,J))*(SI(I-1,J+1)+SI(I+1,
3750         *J+1)-2.*SI(I,J+1))-(SI(I-1,J)-SI(I,J))*(SI(I-1,J-1)+SI(I-1,J+1)
3760         *-2.*SI(I-1,J))-(SI(I,J-1)-SI(I,J))*(SI(I-1,J-1)+SI(I+1,J-1)-2.*
3770         *SI(I,J-1))-(SI(I+1,J)-SI(I,J))*(SI(I+1,J-1)+SI(I+1,J+1)-2.*
3780         *SI(I+1,J))+(1./4.)*((SI(I-1,J+1)-SI(I+1,J+1))*(SI(I-1,J+1)-
3790         *SI(I+1,
3800         *J+1))+(SI(I-1,J-1)-SI(I-1,J+1))*(SI(I-1,J-1)-SI(I-1,J+1))
3810         *+(SI(I+1,J-1)-SI(I-1,J-1))*(SI(I+1,J-1)-SI(I-1,J-1))+(SI(I+1,J+1)-
3820         *SI(I+1,J-1))*(SI(I+1,J+1)-SI(I+1,J-1)))-(1./2.)*((SI(I-1,J)-SI(I+1
3830         *,J))
3840         *+(SI(I-1,J)-SI(I+1,J))+(SI(I,J-1)-SI(I,J+1))*(SI(I,J-1)-SI(I,J+1))
3850         *)
3860         IF(L.EQ.1) AAMB3(I,J)=.5*AAMB3(I,J)
3865         PACO1(I,J)=(PACO(I,J)*PODI*PODI)/(XMAP(I,J)*XMAP(I,J))
3870         10 CONTINUE
3880         DO 37 I=2,26

```

```

3890 DO 33 J=2,34
3900 IF(L.GE.1.AND.(DOSLAP(I,J)+PAC02(I,J)-DGFGSI(I,J)).LT.0)DOSLAP(I,J
3902 *) =DGFGSI(I,J)-PAC02(I,J)
3904 SIGMA(I,J)=(-PAC01(I,J)+SQRT(PAC02(I,J)+AANRB(I,J)-DGFGSI(I,J)+
3906 *DOSLAP(I,J)))
3930 33 CONTINUE
3940 RETURN
3950 END
3960 SUBROUTINE RELAX(W,S12,SIGMA,REL,M,CERO)
3970 DIMENSION W(27,35),S12(27,35),SIGMA(27,35),WW(27,35)
3980 *,DIF(27,35),RESI(27,35)
3990 DATA PEG/9.56 E-05/,XL/3125/,PARE/1.785/
4000 DO 6 I=1,27
4010 DO 5 J=1,35
4020 WW(I,J)=W(I,J)
4030 6 CONTINUE
4040 N=0
4050 9 M=M+1
4060 CERO=0.0
4070 DO 14 I=2,26
4080 DO 14 J=2,34
4090 RESI(I,J)=.25*(WW(I,J+1)+WW(I+1,J)+WW(I,J-1)+WW(I-1,J)-(4.*WW
4100 *(I,J))-SIGMA(I,J))
4105 RESI(I,J)=PARE*RESI(I,J)
4110 WW(I,J)=WK(I,J)+RESI(I,J)
4120 DIF(I,J)=ABS(RESI(I,J))
4130 ERROR=AMAX1(CERO,DIF(I,J))
4140 CERO=ERROR
4150 14 CONTINUE
4160 IF(CERO.GT.REL) GO TO 9
4170 DO 10 I=1,27
4180 DO 10 J=1,35
4190 10 S12(I,J)=WW(I,J)
4200 RETURN
4210 END

```

* Las subrutinas: ORDENA, AUTASI, MAPA, SUAVIZ, que en el programa son utilizadas para suavizar el campo inicial y para ejecutar los mapas, fueron desarrolladas originalmente por R. Revilla D. y T. Morales Acoltzi.

BIBLIOGRAFIA

- 'Arnason, G., 1957: A convergent method for solving the balance equation. Tech. Rep., Joint Numerical Weather Prediction Unit, Suitland, Md.
- Asselin, R., 1967: The operational solution of balance equation. *Tellus* 19, 24-31.
- Bijlsma, S. J., and Hoogendoorn, R. J., 1983: A convergence -- analysis of a numerical method for solving the balance equation. *Mon. Wea. Rev.*, 111, 997-1001.
- Bolin, B., 1955: Numerical forecastin with the barotropic model. *Tellus*, 7 27-49.
- Courant, R., and D. Hilbert, 1962: *Methods of Mathematical Physics*, Vol. II. Interscience Publishers, 322-325.
- Charney, J. G., 1955: The use of the primitive equations of motion in numerical prediction. *Tellus*, 7 22-26.
- Gronas, S., and Lystad M., 1977: Solutions of the balance equation with minimun correction of the mass field. *Tellus* 29 502-511.
- Haltiner, J. G. and R. T. Williams, 1980: *Numerical Prediction and Dynamic Meteorology*, J. Wiley and Sons, 477 pp.

- Holton, J. R., 1979: An Introduction to Dynamic Meteorology, - (Second Edition), Academic Press, 391 pp.
- Iversen, T., and Nordeng T. E., 1982: A convergent method for solving the balance equation. Mon. Wea. Rev., 110, 1347--1353.
- Kasahara, A., 1982: Significance of non-elliptic regions in balance flows of the tropical atmosphere. Mon. Wea. Rev., - 110, 1956-1967.
- Miyakoda, K., 1956: On a method of solving the balance equation. J. Meteor. Soc. Japan, 34, 364-367.
- Miyakoda, K., 1960: Numerical solution of the balance equation Tech. Rep. Japan Meteorological Agency, 3, 15-43.
- Miyakoda, K., 1962: Contribution to the numerical weather prediction -computation with finite difference-, Jap. Journal of Geophysics, 3, pp. 96-101.
- Paegle, J., and J. N. Paegle, 1974: An efficient and accurate-approximation to the balance wind with application to non-elliptic data. Mon. wea. Rev., 102, 838-846.
- Paegle, J., and E. M. Tomlinson., 1975: Solution of the balance equation by Fourier transform and Gauss elimination. - Mon. Wea. Rev., 103, 528-535.
- Petterssen, S., 1953: On the relation between vorticity, deformation and divergence and the configuration of the pressure field. Tellus, 5, 231-238.

Shuman, F. G., 1957: Numerical methods in weather prediction:
I The balance equation. Mon. Wea. Rev., 85, 329-332.